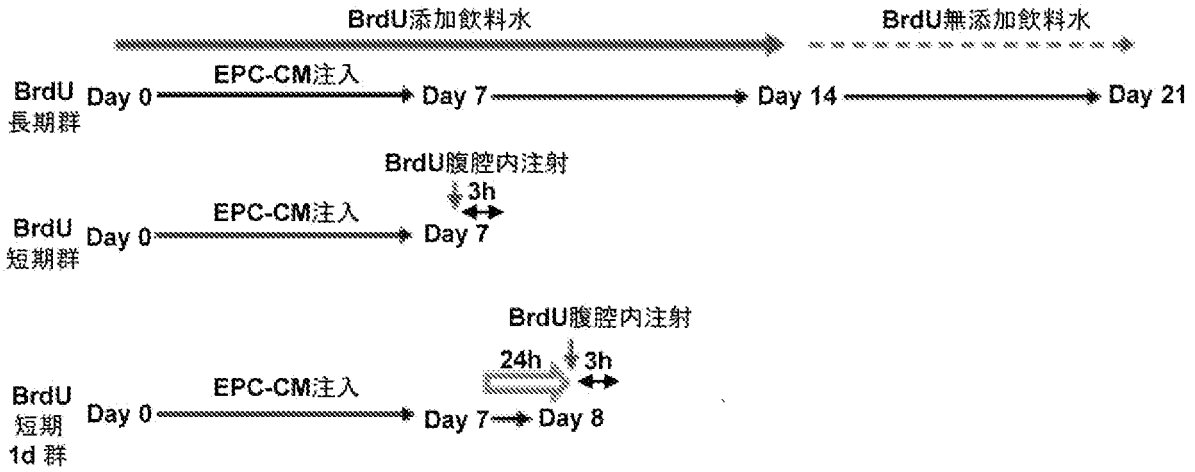
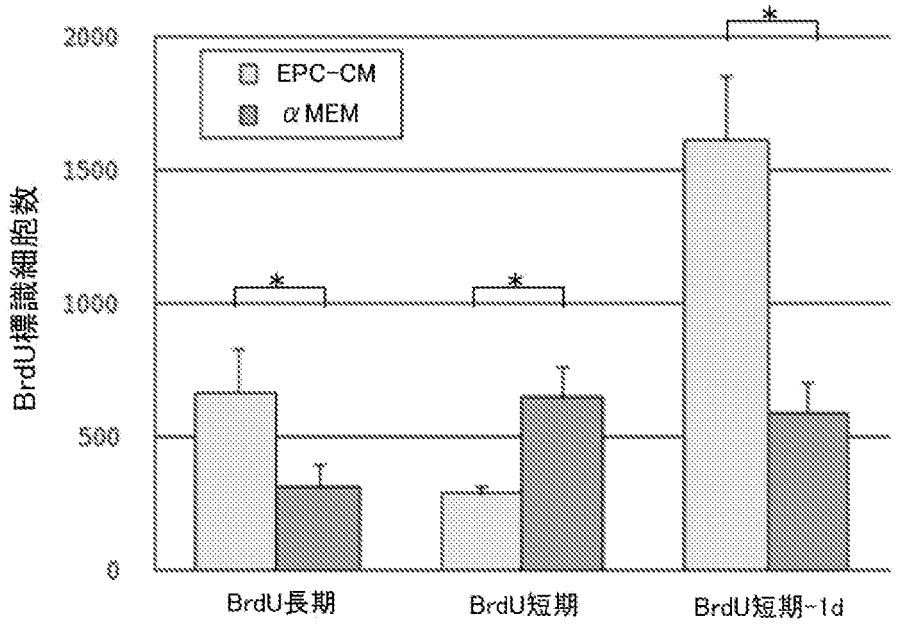
[図1]


BrdU添加飲料水
BrdU無添加飲料水
BrdU
長期群
Day 0
EPC-CM注入
Day 7
Day 14
Day 21
BrdU腹腔内注射
3h
BrdU
短期群
Day 0
EPC-CM注入
Day 7
BrdU腹腔内注射
24h
3h
BrdU
短期
1d 群
Day 0
EPC-CM注入
Day 7
Day 8

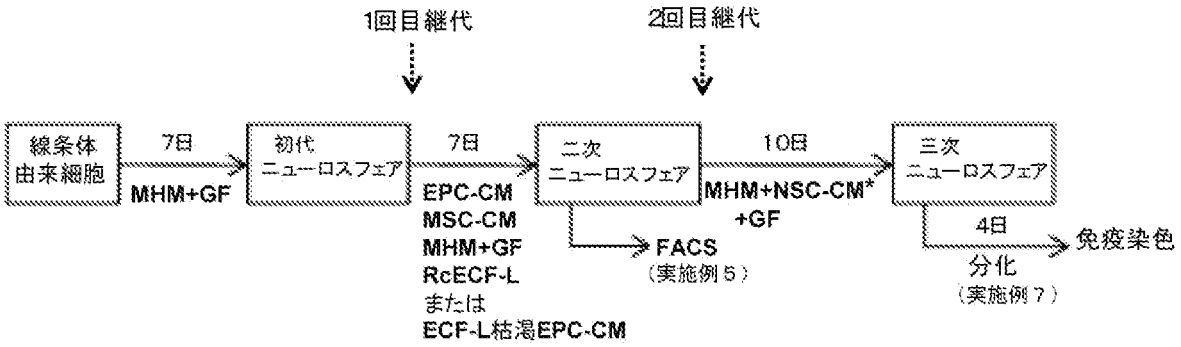
[図2]


2000
1500
1000
500
0
BrdU標識細胞数
EPC-CM
αMEM
*
BrdU長期
BrdU短期
BrdU短期~1d

*p<0.05

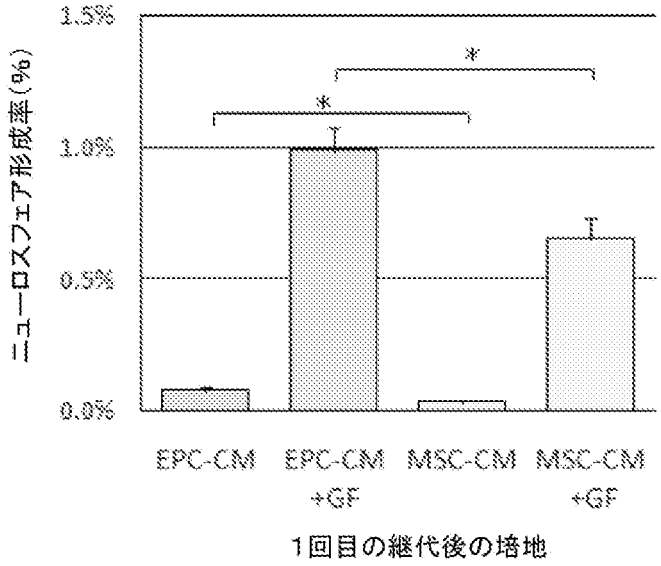
[図3]

実施例2、5、および7のフローチャート



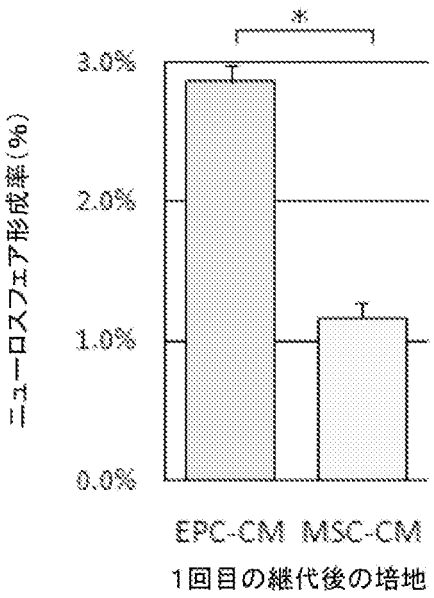
* 初代培養ニューロスフェア培養上清

[図4]



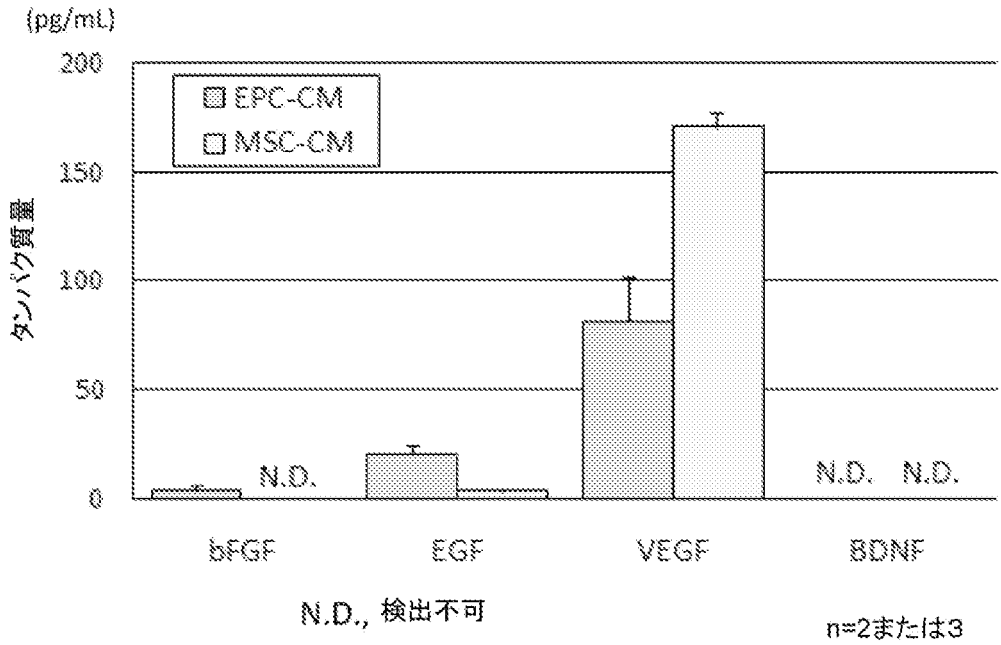
n＝20 *p<0.05

[図5]

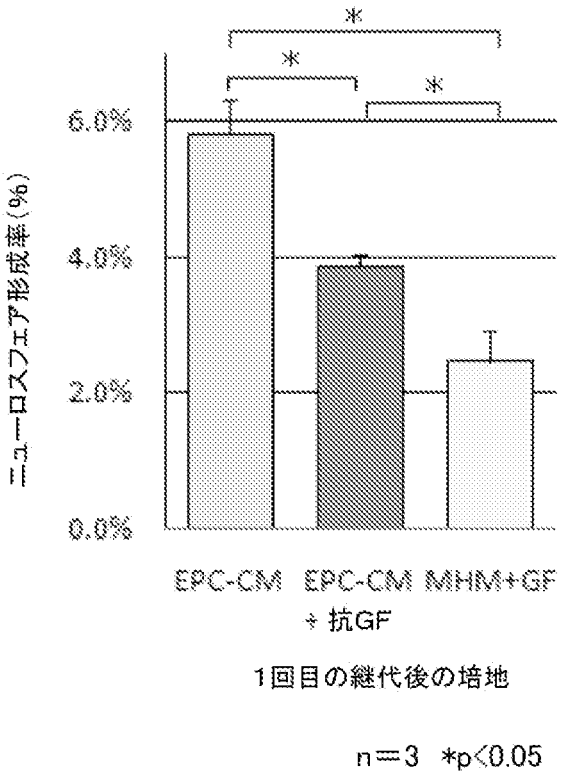


n=20 *p<0.05

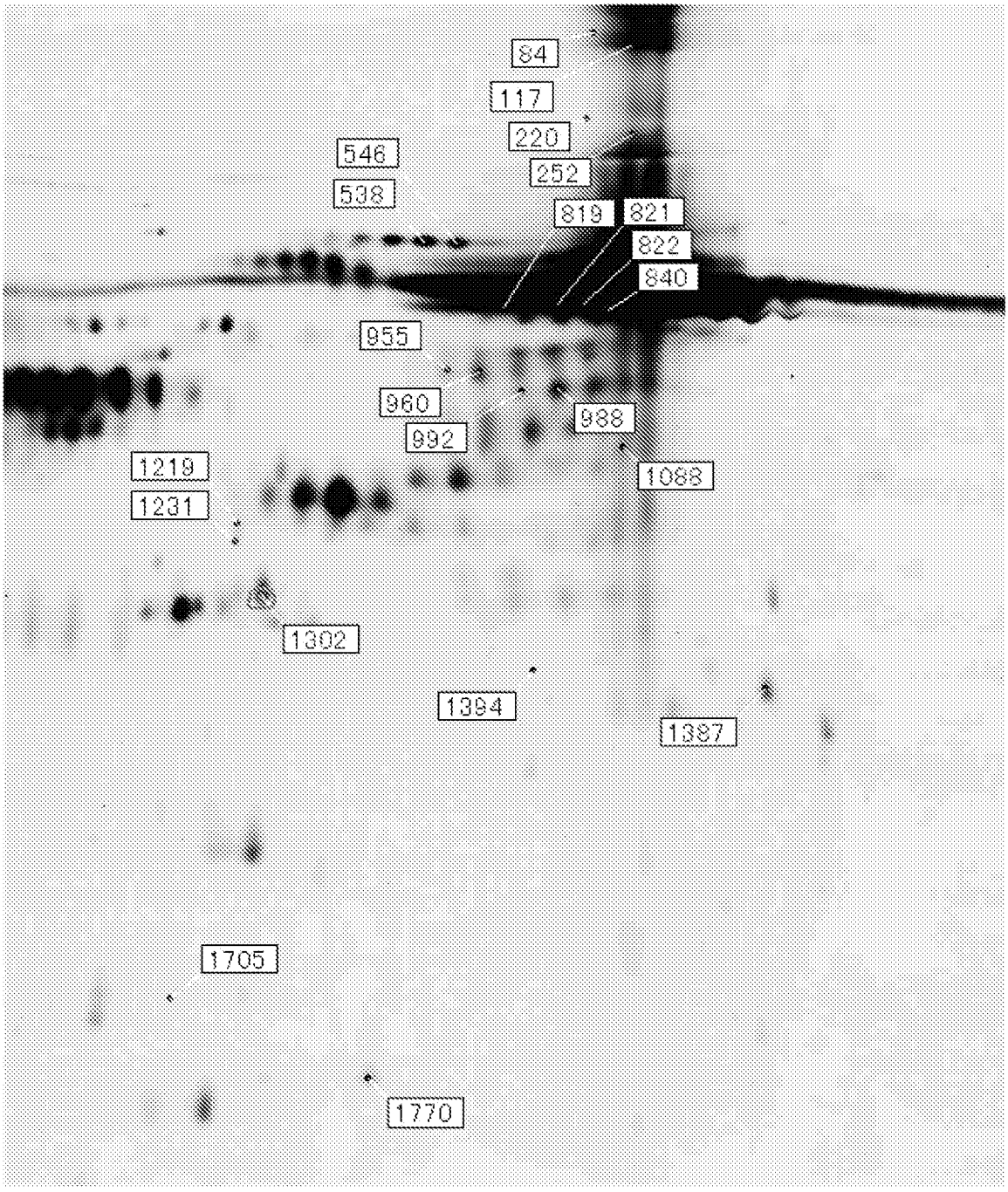
[図6]



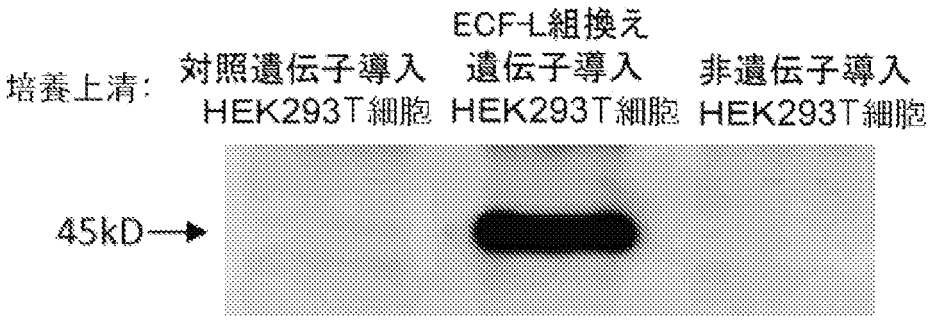
[図7]


*
*
*
6.0%
4.0%
2.0%
0.0%
ニューロスフェア形成率(%)
EPC-CM
EPC-CM + 抗GF
MHM+GF
1回目の継代後の培地
n=3 *p<0.05

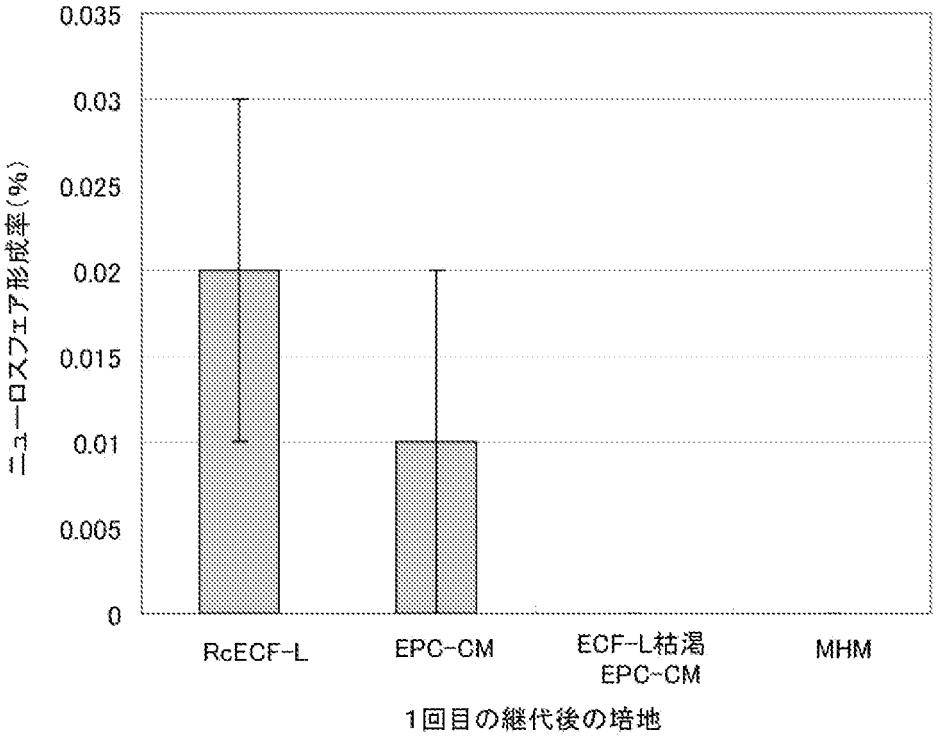
[図8]


84
117
220
546
252
538
819
821
822
840
955
960
988
992
1219
1088
1231
1302
1394
1387
1705
1770

[図9]

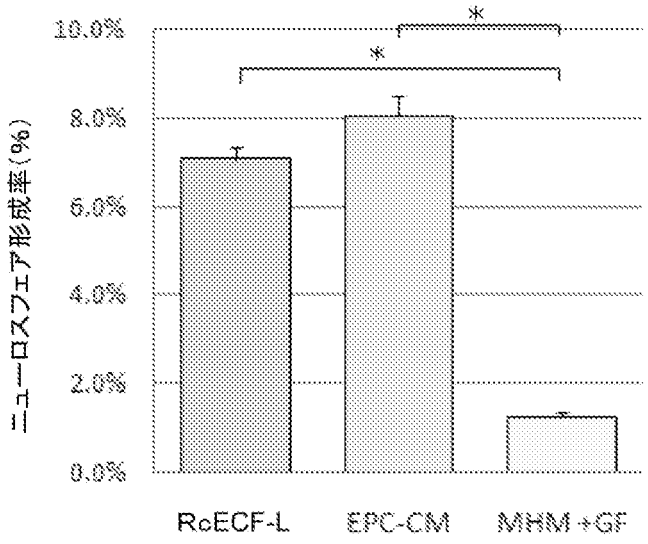

ECF-L組換え
培養上清:
対照遺伝子導入 HEK293T細胞
遺伝子導入 HEK293T細胞
非遺伝子導入 HEK293T細胞
45kD

[図10]



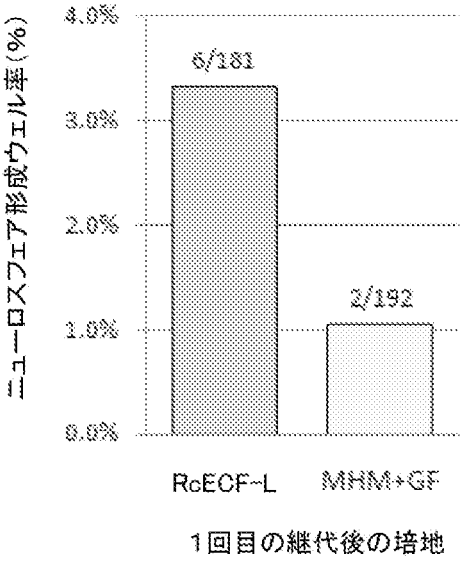
n＝12

[図11]

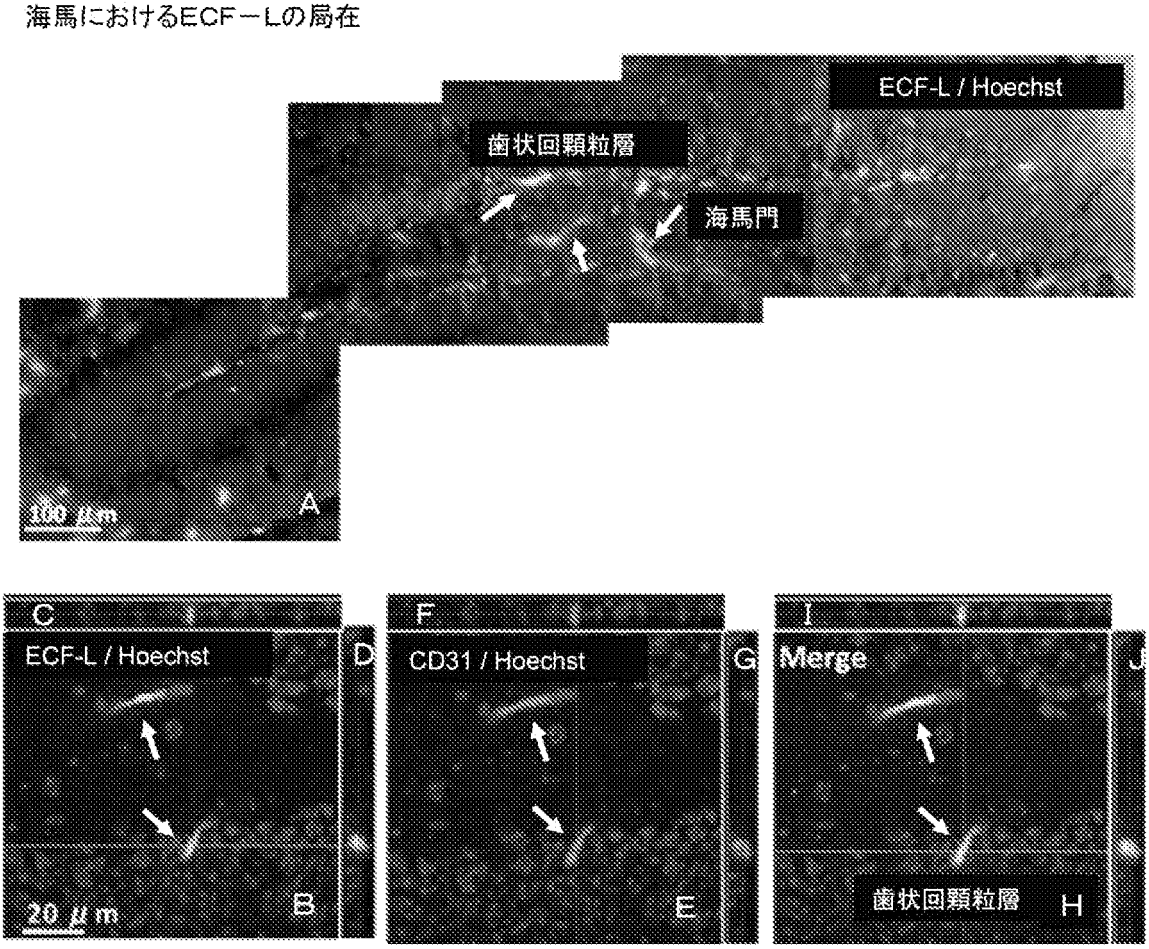


n＝8または10 *p<0.001

[図12]

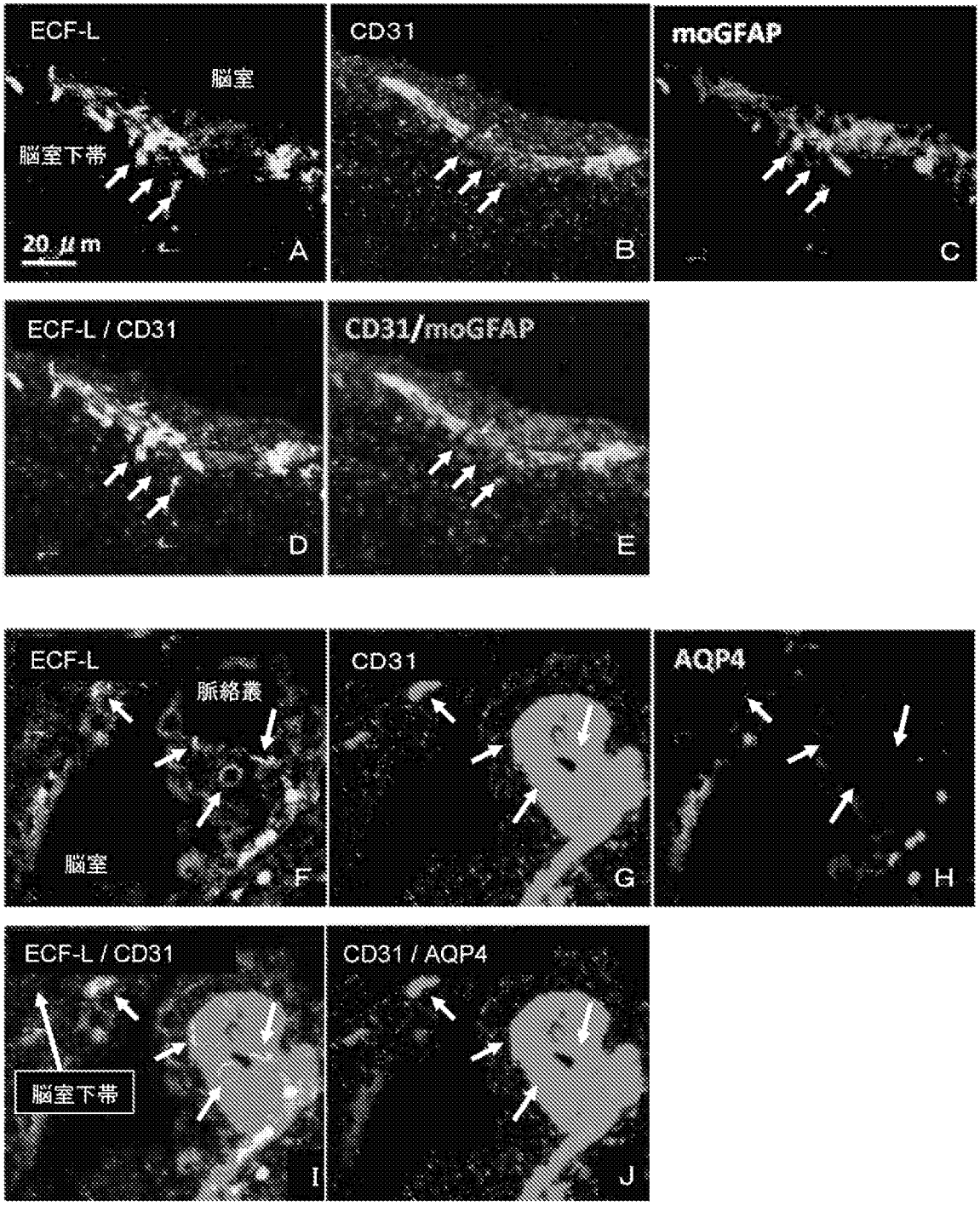

ニューロスフェア形成ウェル率(%)
4.0%
3.0%
2.0%
1.0%
0.0%
6/181
2/192
RcECF-L
MHM+GF
1回目の継代後の培地

[図13]


海馬におけるECF－Lの局在
ECF-L / Hoechst
歯状回顆粒層
海馬門
100 μm
A
C
ECF-L / Hoechst
D
20 μm
B
F
CD31 / Hoechst
G
E
I
Merge
J
歯状回顆粒層
H

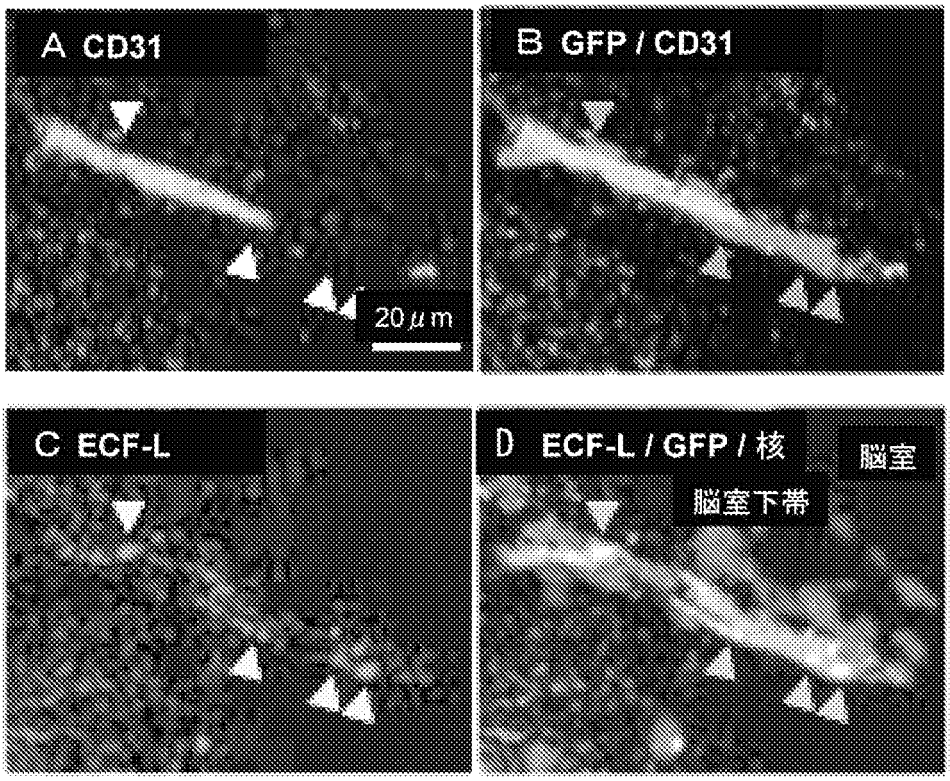
[図14]

側脳室におけるECF-Lの局在



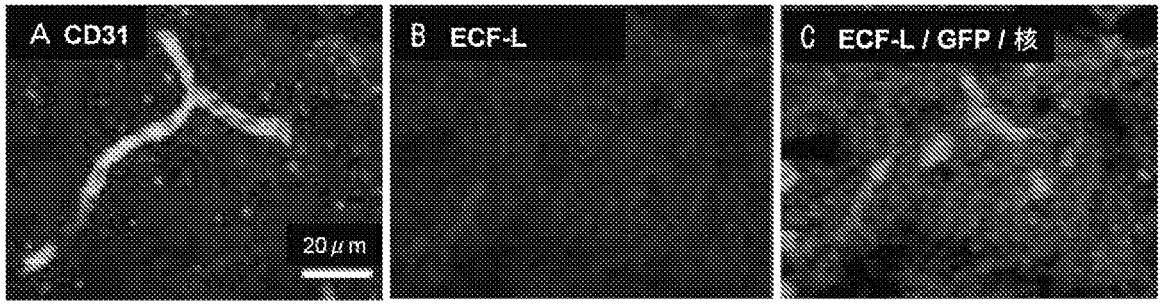
[図15]

側脳室におけるECF-Lの局在

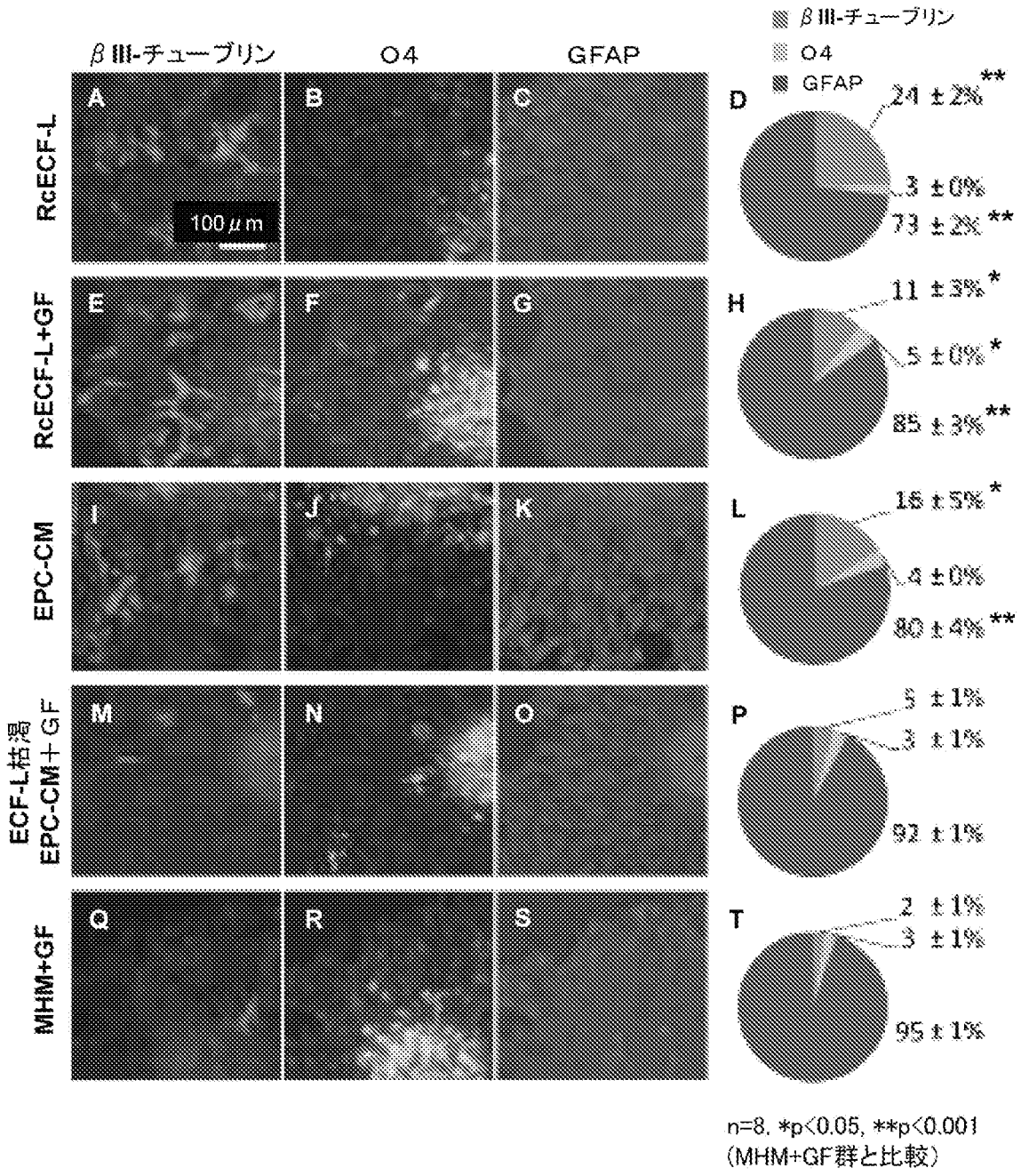


[図16]

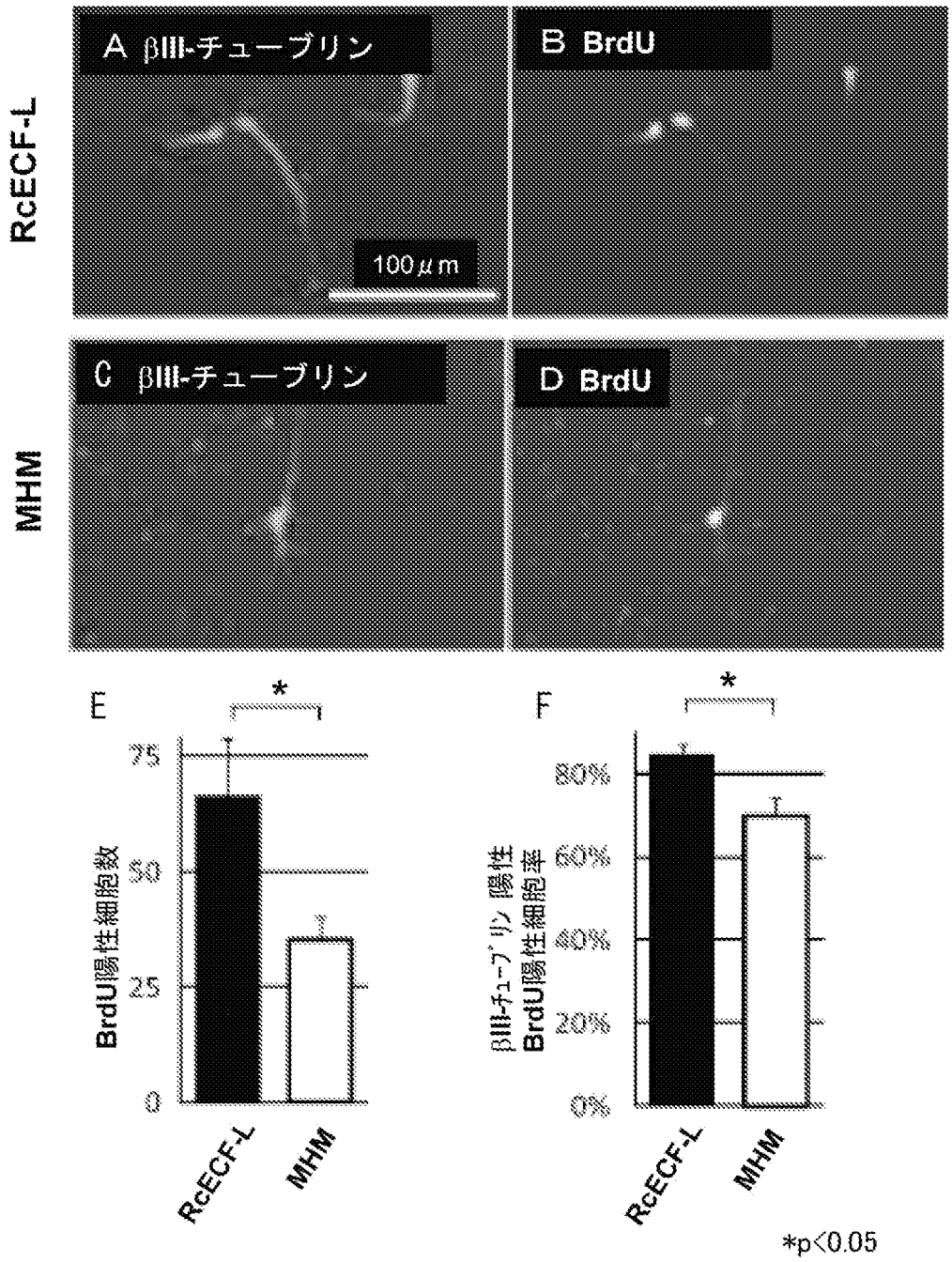
大脳皮質におけるECF-Lの局在



[図17]


βIII-チューブリン
O4
GFAP
RcECF-L
RcECF-L+GF
EPC-CM
ECF-L枯渇 EPC-CM+GF
MHM+GF
A
B
C
D
E
F
G
H
I
J
K
L
M
N
O
P
Q
R
S
T
100μm
βIII-チューブリン
O4
GFAP
24 ±2%**
3 ±0%
73 ±2%**
11 ±3%*
5 ±0%*
85 ±3%**
16 ±5%*
4 ±0%
80 ±4%**
5 ±1%
3 ±1%
92 ±1%
2 ±1%
3 ±1%
95 ±1%
n=8, *p<0.05, **p<0.001
(MHM+GF群と比較)

[図18]


RcECF-L
MHM
A βIII-チューブリン
B BrdU
C βIII-チューブリン
D BrdU
100μm
E
F
*
BrdU陽性細胞数
75
50
25
0
βIII-チューブリン陽性 BrdU陽性細胞率
80%
60%
40%
20%
0%
RcECF-L
MHM
*p<0.05